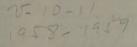
ZEITSCHRIFT FÜR ANGEWANDTE PHYSIK

HERAUSGEGEBEN VON

G. JOOS W. MEISSNER R. VIEWEG

ZEHNTER BAND

MIT 740 TEXTABBILDUNGEN



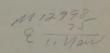


Inhaltsverzeichnis

Originalarbeiten

SCHMITT, H. J., und W. FUTTERMENGER, Mehrkreisige		Kocher, H., Altersbestimmung nach der Rubidium-
Resonanzabsorber für elektromagnetische Zentimeter- wellen. Mit 7 Textabbildungen	1	Strontium-Methode bei Spektralanalyse mit einer Voltalumineszenz-Lichtquelle. Mit 5 Textabbildungen
Pottel, R., Absorption elektromagnetischer Zentimeter-		FÜNFER, E., M. KEILHACKER, und G. LEHNER, Zum Me-
wellen in künstlich anisotropen Medien. Mit 12 Text-	0	chanismus von Drahtexplosionen. Mit 7 Textab-
abbildungen	8	bildungen HELLWEGE, und W. KNAPPE, Diffusion
zur reflexionsarmen Absorption elektromagnetischer		über Grenzflächen im System Weichmacher-Poly-
Wellen. Mit 14 Textabbildungen	17	vinylchlorid. Mit 4 Textabbildungen
SCHUMANN, W. O., Uber die Ausbreitung elektrischer Wel-		KIENLIN, A. v., Magnetische Werkstoffe mit Perminvar-
len längs einer dielektrisch begrenzten Plasmaschicht mit einem longitudinalen Magnetfeld. Mit 5 Textabbil-		effekt. Teil III. Der Zusammenhang zwischen über- stöchiometrischem Sauerstoffgehalt und Perminvar-
dungen	26	effekt bei kobalthaltigen Ferriten. Mit 1 Textabbil-
Lenz, F., Berechnung der Orts- und Winkelverteilung		dung
des Teilchenstroms bei Vielfachstreuung. Mit 2 Text-	91	GANZHORN, K., Berechnung der Rechteck-Hysterese-
abbildungen	31	schleife von Ferriten. Mit 6 Textabbildungen Wiekhorst, F., Absorption elektromagnetischer Wellen
Multipliers bei großen Anodenströmen. Mit 3 Text-		mit Hilfe verlustbehafteter Resonanzschlitze. Mit
abbildungen	34	15 Textabbildungen
MAGER, A., und R. BRENNER, Stabiles Schweben von		Löb, E., Die dielektrischen Eigenschaften von Quarz-
leitenden Körpern im magnetischen Wechselfeld von Parallelleitern. Mit 8 Textabbildungen	36	sanden bei hohen und höchsten Frequenzen. Mit
Magun, S., und S. Woerner, Beobachtungen an Hoch-	50	6 Textabbildungen
spannungsfunken. Mit 5 Textabbildungen	41	für Ionenquellen. Mit I Textabbildung
RÖHLER, R., Zur Definition und Messung der Unschärfe	40	Hammann, JF., Untersuchungen über die Quantenaus-
im Röntgenbild. Mit 4 Textabbildungen	43	beute von Leuchtstoffen unter Berücksichtigung ihrer Anwendung bei Strahlungsmessungen im UV. Mit
Bock, R., A. Doehring, J. Jänecke, O. Knecht, L. Koester, H. Maier-Leibnitz, Ch. Schmelzer, und		6 Textabbildungen
U. Schmidt-Rohr, Ein Festfrequenz-Zyklotron mit		6 Textabbildungen
einem Dee. Mit 8 Textabbildungen	49	city and Absorption Coefficient in a Chemically Re-
Krohm, G., Erfahrungen bei der Entwicklung eines Voco- ders und Messungen der mit ihm erhaltenen Verständ-		active Medium. With 2 figures in the text
lichkeit. Mit 12 Textabbildungen	56	Genzel, L., und R. Weber, Spektroskopie im fernen Ultrarot durch Interferenz-Modulation. Mit 4 Text-
SPENKE, E., Das induktive Verhalten von p-n-Gleich-		abbildungen
richtern bei starken Durchlaßbelastungen. Mit 20 Text-		PRÖPSTL, G., und G. ZIELASEK, Sb-Verteilung in abge-
abbildungen	65	schreckten Ge/Sb-Vorlegierungen. Mit 5 Textabbil-
paramagnetischer Resonanzen. Mit 5 Textabbildungen	89	dungen BIRKHOFF, G., Messung der elektrischen Vorgänge inner-
KINDER, E., Die elektrostatische Aufladung des Photo-		naib emer Hochitequenz-Tingenhauting, Mit 4 Text-
materials im Elektronenmikroskop. Mit 3 Textab-	0~	abbildungen
Brunner, G., Eine Kompensationsmethode zur Messung	95	STROTZER, G., Über die elektrische Aufzehrung von Gasen im Druckbereich des Hochvakuums. Mit
sehr kleiner Ströme nach dem Influenzierungsverfahren.		3 Textabbildungen
Mit 1 Textabbildung	98	Beneking, H., Zum Gleich- und Wechselstromverhalten
HOFMEISTER, E., und E. GROSCHWITZ, Der Einfluß der		von Punktkontakt-Dioden. Mit 6 Textabbildungen
geometrischen und physikalischen Verhältnisse an der Spitze von Germaniumdioden auf die Kennlinie. Mit		GERGELY, GY., und I. HANGOS, Energieverluste von Ka-
10 Textabbildungen	109	thodenstrahlen an Binderfilmen der Leuchtschirme von Kathodenstrahlröhren. Mit 2 Textabbildungen
10 Textabbildungen		MÜSER, H.E., Ferroelektrische Hysterese- und Nach-
graphische Anordnung für die Aufnahme einiger hundert Bilder mit einer Bildfrequenz von 140000 sec ⁻¹ .		wirkungserscheinungen an Seignettesalz. Mit 7 Text-
Mit 4 Textabbildungen	114	abbildungen
BITTNER, G., Über die Wellenausbreitung in einem Plas-	111	bids. Mit 13 Textabbildungen
makabel mit äußerem Magnetfeld, Mit 12 Textabbil-		Barnetzky, F., Über den Einfluß einer Förderungszone
dungen	117	auf die Antibiotikaverteilung beim Diffusionstest.
generatoren nach dem Impuls-Verfahren. Mit 5 Text-		Mit 8 Textabbildungen
abbildungen	122	beschleuniger. Mit 4 Textabbildungen
Pohl, H. G., Über die Meßgrenze des Photozellenkompen-		Walther, H., Kondensation von Quecksilberdämpfen an
sators. Mit 3 Textabbildungen	125	gekühlten Flächen. Mit 8 Textabbildungen
Genzel, L., und R. Weber, Zur Theorie der Interferenz- Modulation für Zweistrahl-Interferenzen. Mit 7 Text-		Below, F., W. Kroebel, und H. Springer, Untersuchungsergebnisse über die Erkennbarkeit kleiner
abbildungen	127	Einzelheiten auf dem Fernsehbildschirm, Mit 9 Text-
HINK, W., und W. Petzold, Interferenz von divergenten		abbildungen
Röntgenstrahlen an dünnen planparallelen Schichten.	12=	WALTHER, K., Polarisations- und Winkelabhängigkeit
Mit 5 Textabbildungen	135	des Reflexionsfaktors von Absorbern für elektro- magnetische Zentimeterwellen. Mit 16 Textabbildungen
strahlen, Mit 6 Textabbildungen	138	FITZKY, HG., Aufbau und Anwendung eines Frequenz-
Rieder, G., Mechanische Arbeit bei plastischen Vorgän-		normals für Mikrowellenspektrometer. Mit 14 Text-
gen. Mit 2 Textabbildungen	140	abbildungen

örlich, P., A. Krohs, HJ. Pohl, R. Reichel, und L. Schmidt, Über das Auflösungsvermögen von Szin- tillationsvervielfachern und dessen Beeinflussung durch		Schaaffs, W., Messung von Voltaspannungen nach einer akustischen Methode. Mit 3 Textabbildungen Schaaffs, W., und H. Woelk, Voltaspannungsmessun-	455
verschiedene Parameter. Mit 15 Textabbildungen ROEBEL, W., F. ARP, und H. BAURMEISTER, Die Seh-	303	gen an Kadmiumsulfid. Mit 3 Textabbildungen BILLER, E., Die Methode der Schichtverdopplung	456 458
eigenschaften des menschlichen Auges als Beitrag zum Problem der Gütebeurteilung von Projektions- und Fernsehbildern. Mit 9 Textabbildungen	200	ASSELMEYER, F., und H. RIEDEL, Ein Haarhygrometer hoher Empfindlichkeit. Mit 3 Textabbildungen Lange, H., und R. Kohlhaas, Über die Konstruktion	460
RP, F., Statistische Betrachtungen zu den Messungen über die Seheigenschaften des menschlichen Auges.		von Laboratoriumsmagneten. Mit 12 Textabbildungen Dahlberg, R., Zur Theorie der reversiblen elektrischen	461
ROEBEL, W., F. ARP, und H. BAURMEISTER, Die Er-		Heizung. Mit 5 Textabbildungen Bode, K. H., und W. Fritz, Eine neue Apparatur zur	467
kennbarkeit von Bilddetails bei Fernsehbildern. Mit 11 Textabbildungen	320	Messung der Wärmeleitfähigkeit von Metallen. Mit 10 Textabbildungen	470
Lichtbögen in Luft. Teil I. Mit 8 Textabbildungen . IERRMANN, KH., Röntgenblitzuntersuchungen an		fänger für Stark-Effekt-Mikrowellenspektrometer. Mit 14 Textabbildungen	489
Funkenstoßwellen in Gasen. Mit 13 Textabbildungen. ANKER, V., H. RAMMENSEE, und T. HAIBACH, Relative Lumineszenz-Quantenausbeutemessungen an Acridin-	349	KLOSE, G., Einige Bemerkungen zum Protonenmagnetometer. Mit 3 Textabbildungen	495
und Fluoreszeinfarbstoffen. Mit 6 Textabbildungen .	357	sierung mit Leistungstransistoren. Mit 5 Textabbildungen	497
lung. Mit 8 Textabbildungen	361 368	HINKELMANN, H., Ein Verfahren zur elektrodenlosen Messung der elektrischen Leitfähigkeit von Elektrolyten.	500
EERSPING, A., und K. Blank, Beitrag zur phänomenolo- gischen Theorie der dielektrischen Nachwirkung bei	300	Mit 8 Textabbildungen	500
keramischen Dielektriken. Mit 8 Textabbildungen CHWINK, CHR., und H. MURRMANN, Feldüberlagerung	371	dungen	503
zur Erhöhung der Empfindlichkeit der elektronen- optischen Schattenmethode. Mit 3 Textabbildungen . EIBER, H., Heißleiter-Widerstandsthermomenter in In-	376	Spannungswandlern durch ein Summierverfahren über Zwischenwandler. Mit 5 Textabbildungen Sommer, J., Die Sublimationsdrucke der Systeme NaCl+	511
jektionsnadelform zur Messung sehr kleiner Temperatur-Differenzen im menschlichen Körper. Mit 3 Text-		$\begin{array}{cccccccccccccccccccccccccccccccccccc$	517
abbildungen	379 382	WAGENBRETH, H., Über die schwarze Temperatur der Tauchstrahler beim Goldpunkt. Mit 4 Textabbildungen WAIDELICH, W., Zusammenhang zwischen der Struktur	521
CCKART, G., Über die Polarisationsdrehung elektrischer Wellen in inhomogenen isotropen Dielektriken unter		der Silberbromid-Körner und der Empfindlichkeit photographischer Emulsionen. Mit 8 Textabbildungen.	525
besonderer Berücksichtigung der Troposphäre	393	SUJAK, B., Zur Frage der Messungen der Thermostimula- tion-Coelektronenemission von Exoelektronen mit Hilfe des offenen Spitzenzählers während der Abgabe	
Rost, A., Röntgen-Interferenz-Messungen mit Proportio- nal-Zählrohr und Einkanal-Diskriminator. Mit 8 Text-		von Kristallisationswasser. Mit 12 Textabbildungen . Wunderer, P., Bestimmung der Neutronenemission einer	
abbildungen	404	Neutronenquelle. Mit 12 Textabbildungen Forst, G., Energieverteilung der Wasserstoff-Ionen aus	537
Strontiumtitanat. Mit 7 Textabbildungen	410	einer Hochfrequenz-Ionenquelle. Mit 11 Textabbildungen	546
sistors. Mit 4 Textabbildungen		stärker für Ionisationskammern und Zählrohre. Mit 1 Textabbildung	551
CHAAFFS, W., Messung von Voltaspannungen mit Hilfe der Methode des rotierenden Ankers. Mit 4 Textabbil-		HINK, W., und W. PETZOLD, Röntgenstrahlinterferenzen an Aluminium-Aufdampf-Schichten. Mit 9 Text-	559
dungen ichtumann, W.O., Über die Ausbreitung langer elektri- scher Wellen in magnetisierten Plasmen und ihren Durchgang durch Plasmaschichten. Mit 3 Textabbil-	424	abbildungen . Kienlier, A. v., Magnetische Werkstoffe mit Perminvareffekt. Teil IV. Perminvar- und Magnetfeldtemperungseffekt im Zusammenhang mit der bei Ferriten	
dungen	428	auftretenden Nachwirkung durch Elektronendiffusion. Mit 4 Textabbildungen	
lungsfunktionen bei Präzisionsgitterkonstantenmessungen. Mit 6 Textabbildungen	433	Kuss, E., Hochdruckuntersuchungen IV: Das Viskositäts-Druckverhalten hochmolekularer Substanzen. Mit 16 Textabbildungen	566
Sonolumineszenz. Mit 20 Textabbildungen	445	GÖRLICH, P., A. KROHS, HJ. POHL, R. REICHEL, und L. SCHMIDT, Berichtigung zur Arbeit: Über das Auf-	
sonic Propagation in Mixtures of Ethyl Alcohol and Water. With 4 figures in the text	453	lösungsvermögen von Szintillationsvervielfachern und dessen Beeinflussung durch verschiedene Parameter .	576



Berichte

elektrostatischen Maschinen hoher Leistung führen. Mit 12 Textabbildungen 100 HANLE, W., und H. SCHNEIDER, Neuere Entwicklung des Szintillationszählers. Mit 27 Textabbildungen 228	phischer Schichten bei Elektronenbestrahlung. Mit 25 Textabbildungen	100
Buchbesprechungen	48, 107, 155, 200, 248, 295, 346, 395, 488, 576	
Verzeichnis der Originalarbeiten und der zusammenfa	ssenden Berichte, geordnet nach Sachgebieten . 577	į
Autorenverzeichnis		
Verzeichnis der Buchbesprechungen		į

Alle Rechte vorbehalten. Ohne ausdrückliche Genehmigung des Verlages ist es auch nicht gestattet, einzelne Beiträge oder Teile daraus auf photomechanischem Wege (Photokopie, Mikrokopie) zu vervielfältigen.

Die Wiedergabe von Gebrauchsnamen, Handelsnamen, Warenbezeichnungen usw. in dieser Zeitschrift berechtigt auch ohne besondere Kennzeichnung nicht zu der Annahme, daß solche Namen im Sinn der Warenzeichen- und Markenschutz-Gesetzgebung als frei zu betrachten wären und daher von jedermann benutzt werden dürften.